

て冲向きの流れを示しているが、開口率が小さく、堤長の長いCase 3および4の場合には開口部のほか、潜堤天端上においても冲向きの流れを示した。これは潜堤天端上の碎波高を測定したところ波高の低い部分と一致していた。また、堤内の流況は開口率 $W/Yr=0.4$ のCase 1の場合、汀線付近の循環流は形成されず、不安定で乱れていたのに対し、 $W/Yr=0.3$ のCase 2の場合、安定したバランスの良い循環流を形成し、図-3で示した海浜流パターンとなった。堤長が長いCase 3および4の場合、開口部堤内の碎波による影響が潜堤中央まで及ばないため、循環流は離れて形成され、潜堤背後の冲向の流れは小さくなった。

次に各開口率における開口部出口流速と堤内の冲向流速および波高低減率についての検討を行った。図-5は開口率と開口部出口流速の関係を、また、図-6は開口率と堤内全域の冲向流速の関係をそれぞれ示す。図中、○印は平均流速を●印は最大流速を示す。これら図より、開口部出口流速値は開口率が小さい程速く、最大流速値は平均流速値の2倍程度となり、現地開口部での砂の侵食が懸念される。一方、堤内での冲向流速は平均値、最大値とも開口率による変化はなかった。また、図-7は開口率と堤内の波高低減率(Ht/Ho)の関係を示す。堤内の波高低減率は開口率が変化しても $W/Yr=0.3$ 以下ではほぼ等しく沖波入射波の約6割まで低減された。

4. おわりに

以上に不連続潜堤周辺に生じる海浜流の特性について述べてきたが、本研究では離岸距離を3mに固定しての検討結果である。離岸距離については堤内の流況に大きく影響する重要なパラメータと考えられ、今後の課題として残した。

最後に本研究を実施するに当たり、貴重な助言を戴いた名古屋工業大学の喜岡助教ならびに電力中央研究所の清水主査研究員に深く謝意を表します。

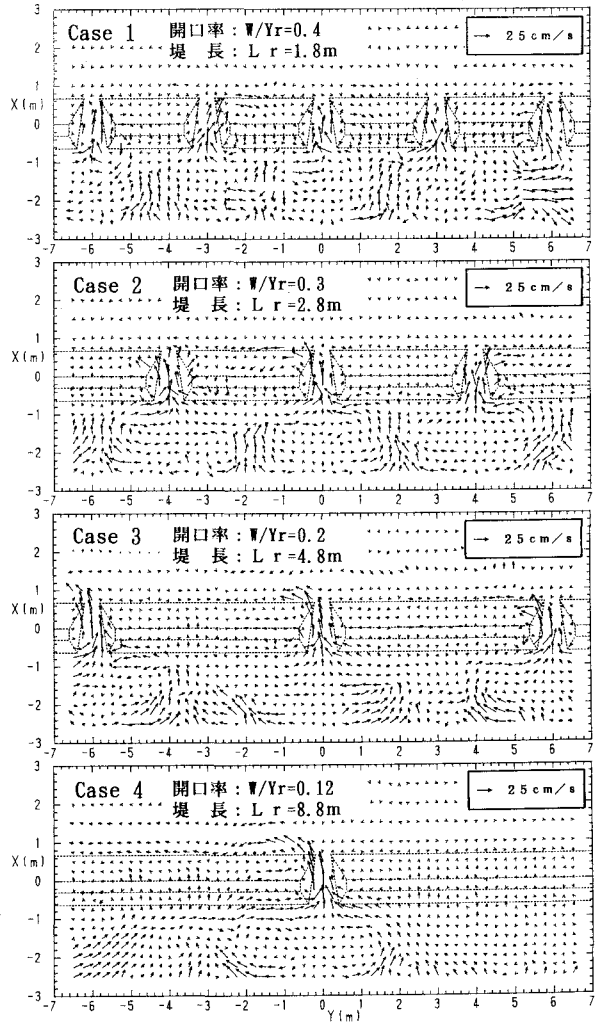


図-4 潜堤周辺に生じる海浜流の流況比較

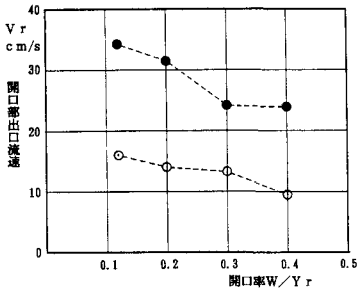


図-5 開口率と開口部出口流速の関係

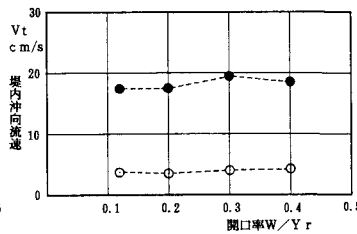


図-6 開口率と堤内冲向流速の関係

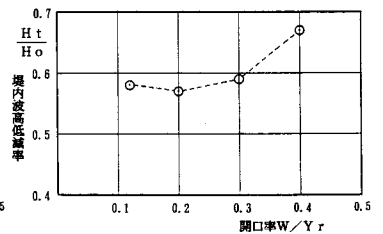


図-7 開口率と堤内波高低減率の関係

参考文献

宇多高明・小俣篤・横山揚久 人工リーフ周辺に生じる海浜流と地形変化

第34回海岸工学講演会論文集 1977, PP 337~341